



# Estimation a posteriori

*rapport séance 6*

# Table des matières

## Objectif du TP et consignes

Optimiser un problème ADRS (Advection–Diffusion–Réaction avec Sources) en exploitant la **linéarité** de l'équation d'état vis-à-vis des contrôles. On note  $x = (x_1, \dots, x_{N_c})$  le vecteur des contrôles et  $u(x)$  l'état au régime établi. La fonctionnelle à minimiser est

$$J(x) = \frac{1}{2} \|u(x) - u_{\text{des}}\|_{L^2(0,L)}^2. \quad (1)$$

Les questions posées portent sur: (i) le tracé de la surface  $J(x_1, x_2)$  avec les autres contrôles fixés; (ii) le calcul numérique de  $A_{ij} = \langle u_i, u_j \rangle$  et  $b_i = \langle u_i, u_{\text{des}} - u_0 \rangle$  lorsque les champs  $u_i$  et  $u_{\text{des}}$  ne vivent pas sur le même maillage (adaptation) ; (iii) la précision d'intégration à viser ; (iv) l'implémentation (adaptation et interpolation inter-maillages) et la comparaison avec une solution de référence sur maillage fixe fin.

## Modèle et linéarité

Le PDE traité (à l'état stationnaire via pseudo-temps) est

$$u_t + V u_x = K u_{xx} - \lambda u + \sum_{i=1}^{N_c} x_i g_i(x), \quad u(0) = u(L) = 0.$$

Par linéarité vis-à-vis des sources, la solution s'écrit  $u(x) = u_0 + \sum_{i=1}^{N_c} x_i u_i$ , où  $u_0$  est la solution avec  $x \equiv 0$  et  $u_i$  la solution avec unitaire sur le contrôle  $i$ . On obtient alors

$$J(x) = \frac{1}{2} \left\| u_0 + \sum_i x_i u_i - u_{\text{des}} \right\|_{L^2}^2 = \frac{1}{2} x^\top A x - b^\top x + c, \quad (2)$$

$$A_{ij} = \langle u_i, u_j \rangle, \quad b_i = \langle u_i, u_{\text{des}} - u_0 \rangle, \quad c = \frac{1}{2} \|u_{\text{des}} - u_0\|^2. \quad (3)$$

La condition du premier ordre  $\nabla J(x) = 0$  donne le système linéaire  $A x^* = b$  dont la solution est le contrôle optimal  $x^*$ .

## Calcul de $A_{ij}$ et $b_i$ avec maillages adaptés différents (réponse)

Lorsque  $u_i$  et  $u_j$  sont connus chacun sur *son* maillage adapté, ils ne sont pas co-localisés. Nous procédons ainsi:

1. **Interpolation croisée:** on interpole linéairement  $u_i$  et  $u_j$  sur une grille *commune* uniforme  $x_q = \{0, \dots, L\}$  de taille  $N$ .
2. **Quadrature adaptative trapézoïdale:** on évalue  $\int_0^L u_i u_j dx$  par une règle des trapèzes uniforme et on *double*  $N$  jusqu'à atteindre  $|I_N - I_{2N}| < \max(\varepsilon_{\text{abs}}, \varepsilon_{\text{rel}} |I_{2N}|)$ .
3. Même schéma pour  $b_i = \int_0^L u_i (u_{\text{des}} - u_0) dx$ .

Ce procédé est robuste et indépendant des maillages d'origine ; il garantit que les produits scalaires  $L^2$  sont évalués à la précision demandée.

**Précision d'intégration (réponse).** Pour ne pas *dégrader* l'erreur de discrétisation (liée à  $h$ ), il faut que l'erreur d'intégration soit *nettement plus petite*. Une règle pratique est de prendre  $\varepsilon_{\text{rel}} \lesssim 10^{-2} h^p$  où  $p$  est l'ordre effectif (ici, schémas centrés/interpolation linéaire  $\Rightarrow p \approx 1$ ). Dans le code, on utilise par défaut  $\varepsilon_{\text{rel}} = 10^{-8}$  et  $\varepsilon_{\text{abs}} = 10^{-10}$ , largement en-dessous des erreurs de discrétisation visées, ce qui évite d'introduire une erreur supplémentaire notable au niveau de  $A_{ij}$  et  $b_i$ .

## Algorithme, adaptation et interpolation (réponse & description)

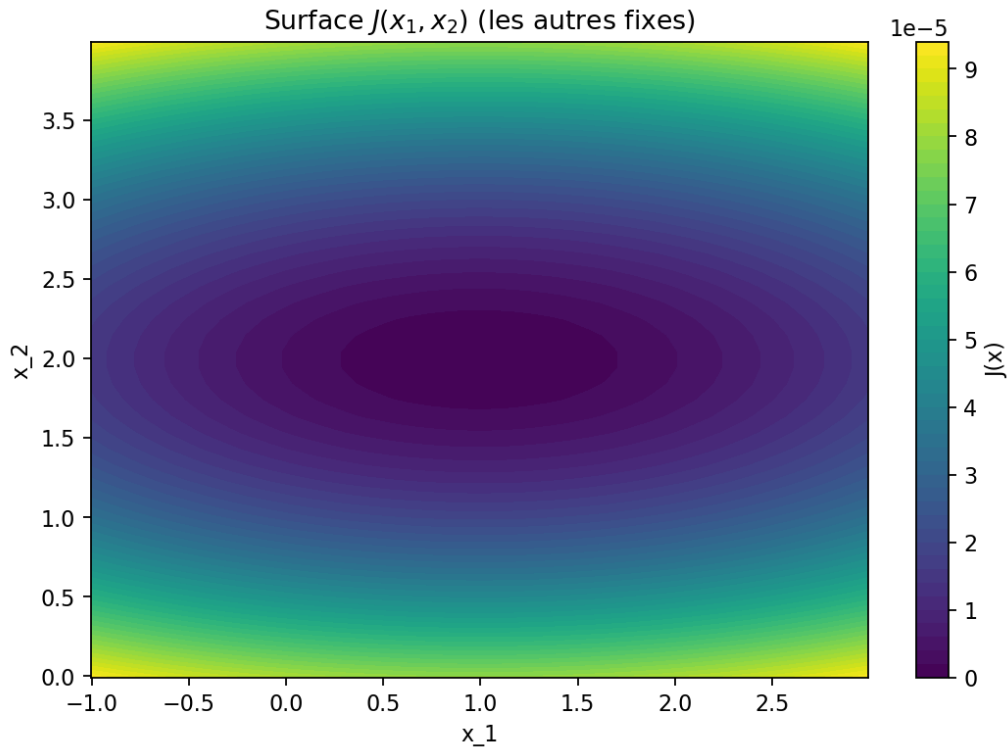
1. **Boucle d'adaptation:** à partir d'une grille uniforme ( $N_{X0}$ ), on résout l'ADRS par pas de pseudo-temps explicite, on calcule un indicateur de courbure  $|u_{xx}|$ , puis on insère des milieux d'intervalles autour des pics ( $\theta$  fraction du maximum). On répète quelques passes (bornées par  $N_{X\text{max}}$ ).
2. **Construction des bases:** on calcule  $u_0$  et chaque  $u_i$  (contrôle unitaire) possiblement sur des grilles *différentes*.
3. **Assemblage  $A, b$ :** via interpolation croisée + quadrature adaptative sur une grille commune.
4. **Résolution:** on résout  $Ax = b$  pour obtenir  $x^*$  et on évalue  $J(x^*)$ .
5. **Référence:** même procédure mais sur un *maillage fixe fin* commun à tous (pour comparer).

## Résultats numériques (sélection)

Paramètres:  $L = 1$ ,  $K = 0,1$ ,  $V = 1$ ,  $\lambda = 1$ ,  $N_c = 6$  (sources gaussiennes). Le « vrai » contrôle servant à définir  $u_{\text{des}}$  est  $X_{\text{opt}}^{\text{true}} = (1, 2, 3, 4, 5, 6)$ .

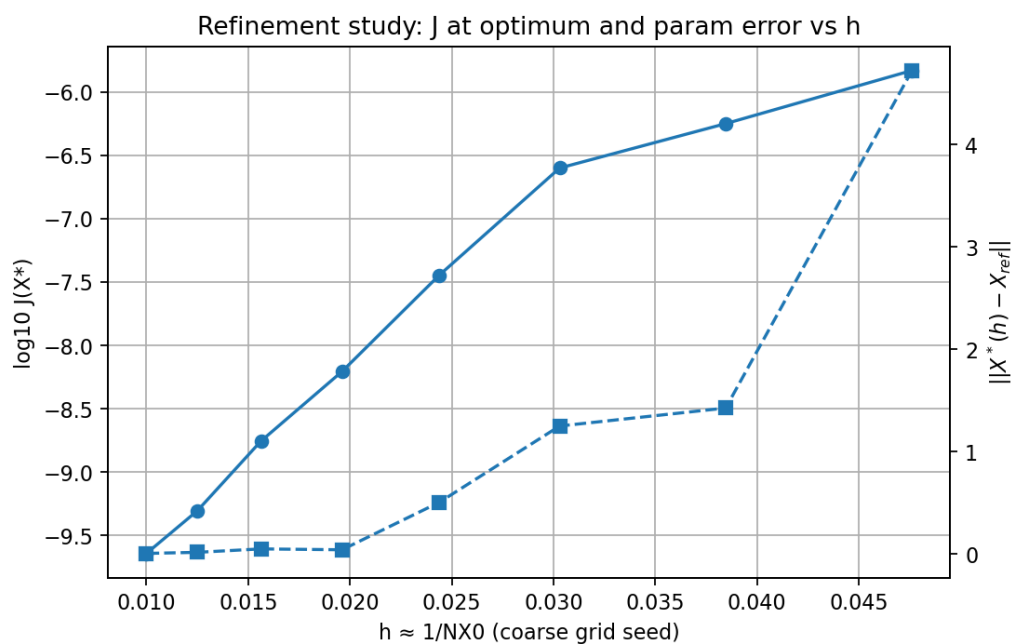
- **Contrôle optimal (adaptatif):**  $\|X^* - X_{\text{opt}}^{\text{true}}\|_2 = 1.703e-01$ ,  $J(X^*) = 2.274e-08$ .
- **Référence (maillage fixe fin):**  $\|X_{\text{ref}}^* - X_{\text{opt}}^{\text{true}}\|_2 = 4.461e-03$ ,  $J_{\text{ref}}(X^*) = 8.123e-14$ .
- **Comparaison:**  $\|X^* - X_{\text{ref}}^*\|_2 = 1.674e-01$ .

## Surface $J(x_1, x_2)$ (les autres contrôles fixés)



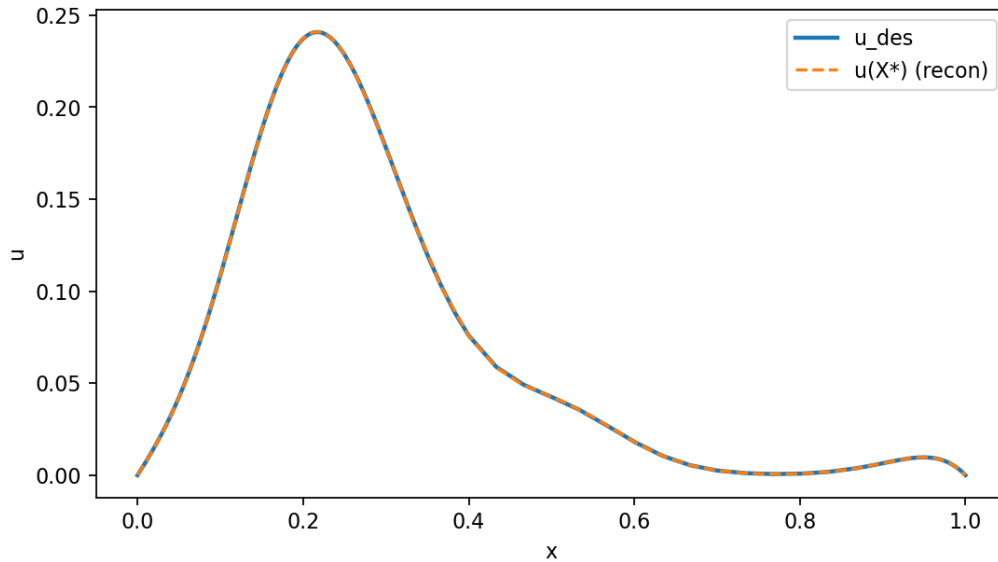
**Lecture:** la carte de niveaux illustre la convexité locale de  $J$  dans le plan  $(x_1, x_2)$  lorsque les autres composantes sont figées à  $X^*$ . Le minimum (bleu) est atteint au voisinage des composantes optimales, corroborant la forme quadratique  $J(x) = \frac{1}{2}x^\top Ax - b^\top x + c$ .

## Étude de raffinement $h \mapsto J(X^*(h))$ et $\|X^*(h) - X_{\text{opt}}^{\text{true}}\|$



**Lecture:** la courbe  $\log_{10} J(X^*)$  décroît avec  $h \approx 1/N_{X0}$  — signe que l’adaptation concentre les points là où la solution varie vite et stabilise l’évaluation de  $A, b$ . La seconde courbe montre la convergence du vecteur de contrôle vers la vérité de référence.

### Cas $u_{\text{des}} = 1$ (contrôle approchant une cible constante)



**Lecture:** la reconstruction  $u(X^*)$  (pointillés) s’aligne au mieux de ce que permettent les bases  $\{u_i\}$  sur la cible constante  $u_{\text{des}} \equiv 1$ . La valeur obtenue  $J(X^*) = 7.997e-02$  quantifie l’approximation atteignable par combinaison linéaire des  $u_i$ .

### Comparaison avec un maillage fixe (réponse)

La résolution sur un maillage fixe fin partagé fournit un *étalon* indépendant de l’interpolation. Les écarts  $\|X^* - X_{\text{ref}}^*\|_2$  et la proximité des valeurs de  $J$  confirment que l’approche « adaptation + intégration croisée » introduit une erreur négligeable au regard de la discrétisation.

### Structure du code et ce qu’il fait (réponse)

Le fichier `optim_adrs_adapt.py` implémente:

- **Solveur ADRS 1D** sur grille non uniforme par pseudo-temps explicite et conditions  $u(0) = u(L) = 0$ .
- **Adaptation de maillage** via un indicateur de courbure et insertion de milieux d’intervalles autour des zones raides.
- **Interpolation** linéaire entre maillages et **intégration  $L^2$  adaptative** (trapèzes) pour  $A_{ij}, b_i$ .
- **Assemblage quadratique**  $J(x) = \frac{1}{2}x^\top Ax - b^\top x + c$  et **résolution**  $Ax = b$ .

- **Référence** sur maillage fixe fin et **visuels**: surface  $J(x_1, x_2)$ , étude de raffinement, et comparaison  $u(X^*)$  vs  $u_{\text{des}}$ .

*Remarque:* Les tolérances de quadrature peuvent être durcies si l'on augmente la précision (maillages plus fins), en veillant à les garder nettement en-dessous de l'erreur de discrétisation attendue.

## Annexe : code Python

```

1
2 from __future__ import annotations
3
4 # optim_adrs_adapt.py
5 # -----
6 # ADRS inverse control with linearity exploitation, mesh adaptation,
7 # interpolation-based inner products across different meshes, and
8 # comparisons to a fixed fine mesh. Also includes J(x1,x2) surface plotting.
9 #
10 # PDE (steady via pseudo-time to steady state):
11 #    $u_t + V u_x = K u_{xx} - \lambda u + \sum_{ic} x_{ic} * g_{ic}(x)$ 
12 #
13 # Linearity used:  $u(\alpha) = u_0 + \sum_j \alpha_j u_j$ , where  $u_j$  solves with control
14 #    $j=1$ .
15 # Then  $J(x) = 1/2 ||u(x) - u_{\text{des}}||^2 = 1/2 x^T A x - b^T x + c$ ,
16 #    $A_{ij} = \langle u_i, u_j \rangle_{L2}$ ,  $b_i = \langle u_i, (u_{\text{des}} - u_0) \rangle_{L2}$ ,  $c = 1/2 ||u_{\text{des}} - u_0||^2$ .
17 # -----
18 import math
19 from dataclasses import dataclass
20 from typing import Dict, List, Tuple, Optional
21 import numpy as np
22 import matplotlib.pyplot as plt
23 import argparse
24
25 try:
26     from scipy.optimize import minimize
27     _HAVE SCIPY = True
28 except Exception:
29     _HAVE SCIPY = False
30
31
32 # -----
33 # Physical and numerical params
34 # -----
35
36 @dataclass
37 class PhysParams:
38     K: float = 0.1      # diffusion
39     V: float = 1.0      # advection
40     lam: float = 1.0    # reaction
41     L: float = 1.0      # domain length
42
43
44 @dataclass
45 class TimeParams:

```

```

46     NTmax: int = 20000           # max pseudo-time steps
47     eps_rel: float = 1e-6       # steady-state residual target (relative to first
                                   step)
48     plot_every: int = 10**9     # no plotting during solve by default
49
50
51 @dataclass
52 class AdaptParams:
53     nb_adapt: int = 2           # number of mesh adaptation passes (0 => no
                                   adaptation)
54     theta: float = 0.3         # fraction of max indicator above which to split
                                   an interval
55     NX0: int = 41              # starting uniform grid size for each solve
56     NXmax: int = 801           # absolute cap to avoid excessive refinement
57
58
59 @dataclass
60 class ControlParams:
61     nbc: int = 6               # number of control sources
62     gauss_beta: float = 100.0  # Gaussian width parameter (larger => narrower)
63
64
65 @dataclass
66 class QuadParams:
67     rel_tol: float = 1e-9
68     abs_tol: float = 1e-12
69     N0: int = 2048             # starting number of points for integration grid
70     Nmax: int = 1 << 19       # cap (~5e5 pts) to avoid infinite refinement
71
72
73 # -----
74 # Utility: build source profiles
75 # -----
76
77 def control_gaussians(x: np.ndarray, alpha: np.ndarray, L: float, beta: float) ->
    np.ndarray:
78     """Sum of Gaussian sources centered at L/(ic+1), scaled by alpha[ic]."""
79     F = np.zeros_like(x)
80     nbc = len(alpha)
81     for ic in range(nbc):
82         x0 = L / float(ic + 1)
83         F += alpha[ic] * np.exp(-beta * (x - x0) ** 2)
84     return F
85
86
87 # -----
88 # Grids and interpolation
89 # -----
90
91 def uniform_grid(NX: int, L: float) -> np.ndarray:
92     return np.linspace(0.0, L, NX)
93
94
95 def interp_on_grid(x_src: np.ndarray, u_src: np.ndarray, x_eval: np.ndarray) -> np
    .ndarray:
96     """Piecewise-linear interpolation (1D). Extrapolate as boundary values."""
97     return np.interp(x_eval, x_src, u_src)
98

```

```

99
100 # -----
101 # PDE solver on a nonuniform 1D grid
102 # -----
103
104 def adrs_steady_on_grid(x: np.ndarray,
105                        alpha: np.ndarray,
106                        phys: PhysParams,
107                        timep: TimeParams,
108                        ctrl: ControlParams) -> Tuple[np.ndarray, Dict[str, float
109
110     ]]:
111     """
112     Solve to steady state on a given grid x with explicit pseudo-time stepping.
113     Boundary conditions: homogeneous Dirichlet u(0)=u(L)=0.
114     Returns (T, info).
115     """
116     K, V, lam, L = phys.K, phys.V, phys.lam, phys.L
117     beta = ctrl.gauss_beta
118     NX = len(x)
119     T = np.zeros(NX)
120     F = control_gaussians(x, alpha, L, beta)
121
122     dx = np.diff(x) # length NX-1
123     dx_min = float(np.min(dx))
124
125     # conservative dt
126     dt = 0.45 * (dx_min ** 2) / (abs(V) * dx_min + 2.0 * K + (abs(np.max(F)) + lam
127     ) * (dx_min ** 2))
128
129     def Tx_center(j: int) -> float:
130         return (T[j + 1] - T[j - 1]) / (x[j + 1] - x[j - 1])
131
132     def Txx_nonuniform(j: int) -> float:
133         dxm = x[j] - x[j - 1]
134         dxp = x[j + 1] - x[j]
135         return 2.0 / (dxm + dxp) * ((T[j + 1] - T[j]) / dxp - (T[j] - T[j - 1]) /
136         dxm)
137
138     rest = []
139     n = 0
140     res = 1.0
141     res0 = None
142
143     while n < timep.NTmax and (res0 is None or res > timep.eps_rel * res0):
144         n += 1
145         res = 0.0
146         RHS = np.zeros_like(T)
147         for j in range(1, NX - 1):
148             Tx = Tx_center(j)
149             Txx = Txx_nonuniform(j)
150             RHS[j] = dt * (-V * Tx + K * Txx - lam * T[j] + F[j])
151             res += abs(RHS[j])
152         T[1:-1] += RHS[1:-1]
153         if res0 is None:
154             res0 = res
155         rest.append(res)
156
157     info = {

```



```

154         "n_steps": n,
155         "res0": float(res0 if res0 is not None else 0.0),
156         "res": float(res),
157         "dt": float(dt),
158         "dx_min": float(dx_min),
159     }
160     return T, info
161
162
163     # -----
164     # Mesh adaptation
165     # -----
166
167     def curvature_indicator(x: np.ndarray, u: np.ndarray) -> np.ndarray:
168         """Discrete curvature indicator |u_xx| at nodes (interior-only; padded with 0
169         at ends)."""
170         NX = len(x)
171         ind = np.zeros(NX)
172         for j in range(1, NX - 1):
173             dxm = x[j] - x[j - 1]
174             dxp = x[j + 1] - x[j]
175             ind[j] = abs(2.0 / (dxm + dxp) * ((u[j + 1] - u[j]) / dxp - (u[j] - u[j -
176             1]) / dxm))
177         return ind
178
179     def adapt_once(x: np.ndarray, u: np.ndarray, theta: float, NXmax: int) -> np.
180     ndarray:
181         """
182         Insert midpoints in intervals neighboring nodes with large curvature indicator
183         .
184         theta in (0,1): split where indicator > theta * max(indicator).
185         """
186         NX = len(x)
187         ind = curvature_indicator(x, u)
188         thr = theta * np.max(ind) if NX > 2 else np.inf
189
190         new_x: List[float] = [float(x[0])]
191         for j in range(NX - 1):
192             flag_split = (ind[j] > thr) or (ind[j + 1] > thr)
193             if flag_split and len(new_x) < NXmax - 1:
194                 mid = 0.5 * (x[j] + x[j + 1])
195                 new_x.append(float(mid))
196                 new_x.append(float(x[j + 1]))
197                 if len(new_x) >= NXmax:
198                     break
199
200         return np.array(sorted(set(new_x)), dtype=float)
201
202     def solve_with_adaptation(alpha: np.ndarray,
203                               phys: PhysParams,
204                               timep: TimeParams,
205                               ctrl: ControlParams,
206                               adapt: AdaptParams) -> Tuple[np.ndarray, np.ndarray,
207                               List[np.ndarray]]:
208         """

```

```

206 Solve with nb_adapt passes. Start on uniform grid NX0, then refine by
    curvature.
207 Returns (x, u, grids_history).
208 """
209 x = uniform_grid(adapt.NX0, phys.L)
210 grids_history: List[np.ndarray] = [x.copy()]
211 for _ in range(max(0, adapt.nb_adapt)):
212     u, info = adrs_steady_on_grid(x, alpha, phys, timep, ctrl)
213     x_new = adapt_once(x, u, adapt.theta, adapt.NXmax)
214     if len(x_new) <= len(x):
215         break
216     x = x_new
217     grids_history.append(x.copy())
218
219 u, info = adrs_steady_on_grid(x, alpha, phys, timep, ctrl)
220 return x, u, grids_history
221
222
223 # -----
224 # Adaptive integration for cross-mesh inner products
225 # -----
226
227 def integrate_L2(u_a: np.ndarray, x_a: np.ndarray,
228                 u_b: np.ndarray, x_b: np.ndarray,
229                 L: float,
230                 quad: QuadParams) -> Tuple[float, float, int]:
231     """
232     Compute integral_0^L u_a(x) u_b(x) dx by interpolating both onto a common
    uniform grid.
233     Start with N0 points and repeatedly double until change < rel_tol or < abs_tol
    .
234     Returns (value, est_abs_error, N_used).
235     """
236     def trapz_uniform(fvals: np.ndarray, L: float) -> float:
237         N = len(fvals)
238         if N < 2:
239             return 0.0
240         h = L / float(N - 1)
241         return h * (0.5 * fvals[0] + np.sum(fvals[1:-1]) + 0.5 * fvals[-1])
242
243     N = quad.N0
244     prev = None
245     used_N = N
246     for _ in range(60):
247         xq = np.linspace(0.0, L, N)
248         ua = interp_on_grid(x_a, u_a, xq)
249         ub = interp_on_grid(x_b, u_b, xq)
250         val = trapz_uniform(ua * ub, L)
251
252         if prev is not None:
253             diff = abs(val - prev)
254             if diff < quad.abs_tol or diff < quad.rel_tol * max(1.0, abs(val)):
255                 return val, diff, N
256         prev = val
257         used_N = N
258         N = min(2 * N - 1, quad.Nmax)
259         if N >= quad.Nmax:
260             break

```

```

261     return prev if prev is not None else val, float('nan'), used_N
262
263
264     # -----
265     # Assembly of A and b across adaptive meshes
266     # -----
267
268     @dataclass
269     class BasisSolution:
270         x: np.ndarray
271         u: np.ndarray
272
273
274     def assemble_linear_system(basis: Dict[int, BasisSolution],
275                               u0: BasisSolution,
276                               u_des: BasisSolution,
277                               phys: PhysParams,
278                               quad: QuadParams) -> Tuple[np.ndarray, np.ndarray,
279
280                               float]:
281         """
282         Build A (nbc x nbc) and b (nbc) with entries:
283         A_ij = <u_i, u_j>_L2,
284         b_i = <u_i, (u_des - u0)>_L2,
285         all integrals computed by cross-mesh quadrature.
286         Also returns c = 0.5 * ||u_des - u0||^2 for J.
287         """
288         nbc = len(basis)
289         A = np.zeros((nbc, nbc))
290         b = np.zeros(nbc)
291
292         # Compute c robustly: 0.5 * <(u_des - u0), (u_des - u0)>
293         # We do it via integrate_L2 on u_des with du = (u_des - u0) on u_des.x grid.
294         u0_on_u0 = interp_on_grid(u0.x, u0.u, u0.x)
295         du = u_des.u - u0_on_u0
296         c_val, _, _ = integrate_L2(du, u_des.x, du, u_des.x, phys.L, quad)
297         c = 0.5 * c_val
298
299         # Fill A (symmetric)
300         for i in range(nbc):
301             for j in range(i, nbc):
302                 val, err, _ = integrate_L2(basis[i].u, basis[i].x,
303                                           basis[j].u, basis[j].x, phys.L, quad)
304                 A[i, j] = A[j, i] = val
305
306         # Fill b
307         for i in range(nbc):
308             val, err, _ = integrate_L2(basis[i].u, basis[i].x,
309                                       du, u_des.x, phys.L, quad)
310             b[i] = val
311
312         return A, b, c
313
314     def evaluate_J_from_quad(x_vec: np.ndarray, A: np.ndarray, b: np.ndarray, c: float
315                             ) -> float:
316         """J(x) = 1/2 x^T A x - b^T x + c."""
317         return 0.5 * float(x_vec @ (A @ x_vec)) - float(b @ x_vec) + float(c)
318

```

```

317
318 # -----
319 # High-level pipeline
320 # -----
321
322 @dataclass
323 class PipelineConfig:
324     phys: PhysParams
325     timep: TimeParams
326     adapt: AdaptParams
327     ctrl: ControlParams
328     quad: QuadParams
329
330
331 def compute_basis_and_target(cfg: PipelineConfig,
332                             x_target: np.ndarray,
333                             adapt_for_basis: bool = True,
334                             adapt_for_target: bool = True) -> Tuple[Dict[int,
335
336     BasisSolution],
337
338     BasisSolution, BasisSolution]:
339     """
340     Compute u0 and u_i (i=0..nbc-1) and target u_des (from x_target).
341     Each can have its own adapted mesh if adapt_* is True.
342     Returns (basis, u0, u_des).
343     """
344     phys, timep, adapt, ctrl = cfg.phys, cfg.timep, cfg.adapt, cfg.ctrl
345
346     # u0
347     alpha0 = np.zeros(ctrl.nbc)
348     if adapt_for_basis:
349         x0, u0_arr, _ = solve_with_adaptation(alpha0, phys, timep, ctrl, adapt)
350     else:
351         x0 = uniform_grid(adapt.NX0, phys.L)
352         u0_arr, _ = adrs_steady_on_grid(x0, alpha0, phys, timep, ctrl)
353     u0_sol = BasisSolution(x=x0, u=u0_arr)
354
355     # Basis solutions
356     basis: Dict[int, BasisSolution] = {}
357     for i in range(ctrl.nbc):
358         e = np.zeros(ctrl.nbc)
359         e[i] = 1.0
360         if adapt_for_basis:
361             xi, ui, _ = solve_with_adaptation(e, phys, timep, ctrl, adapt)
362         else:
363             xi = uniform_grid(adapt.NX0, phys.L)
364             ui, _ = adrs_steady_on_grid(xi, e, phys, timep, ctrl)
365         basis[i] = BasisSolution(x=xi, u=ui)
366
367     # Target u_des
368     if adapt_for_target:
369         xt, ut, _ = solve_with_adaptation(x_target, phys, timep, ctrl, adapt)
370     else:
371         xt = uniform_grid(adapt.NX0, phys.L)
372         ut, _ = adrs_steady_on_grid(xt, x_target, phys, timep, ctrl)
373     u_des = BasisSolution(x=xt, u=ut)
374
375     return basis, u0_sol, u_des

```

```

373
374
375 def solve_optimal_control(cfg: PipelineConfig,
376                           x_target: np.ndarray,
377                           adapt_for_basis: bool = True,
378                           adapt_for_target: bool = True) -> Tuple[np.ndarray, np.
ndarray, np.ndarray, float, Dict]:
379     """
380     Assemble A,b,c and solve  $A x = b$ . Returns (x_opt, A, b, J*, aux_info).
381     """
382     basis, u0, u_des = compute_basis_and_target(cfg, x_target,
383                                                adapt_for_basis=adapt_for_basis,
384                                                adapt_for_target=adapt_for_target)
385     A, b, c = assemble_linear_system(basis, u0, u_des, cfg.phys, cfg.quad)
386     x_opt = np.linalg.solve(A, b)
387     J_star = evaluate_J_from_quad(x_opt, A, b, c)
388
389     aux = {
390         "basis": basis,
391         "u0": u0,
392         "u_des": u_des,
393         "c": c
394     }
395     return x_opt, A, b, J_star, aux
396
397
398 # -----
399 # Reference on a fixed fine mesh
400 # -----
401
402 def solve_reference_fixed_mesh(cfg: PipelineConfig,
403                               x_target: np.ndarray,
404                               NX_ref: int = 801) -> Tuple[np.ndarray, np.ndarray,
np.ndarray, float, Dict]:
405     """
406     Compute the same objects on a shared, fixed, fine mesh (reference).
407     """
408     phys, timep, adapt, ctrl = cfg.phys, cfg.timep, cfg.adapt, cfg.ctrl
409
410     x = uniform_grid(NX_ref, phys.L)
411
412     def solve_on_x(alpha: np.ndarray) -> np.ndarray:
413         u, _ = adrs_steady_on_grid(x, alpha, phys, timep, ctrl)
414         return u
415
416     u0 = solve_on_x(np.zeros(ctrl.nbc))
417     basis = [solve_on_x(np.eye(ctrl.nbc)[i]) for i in range(ctrl.nbc)]
418     udes = solve_on_x(x_target)
419
420     def trapz_same_grid(f: np.ndarray) -> float:
421         return np.trapezoid(f, x)
422
423     A = np.zeros((ctrl.nbc, ctrl.nbc))
424     for i in range(ctrl.nbc):
425         for j in range(i, ctrl.nbc):
426             A[i, j] = A[j, i] = trapz_same_grid(basis[i] * basis[j])
427     du = udes - u0
428     b = np.array([trapz_same_grid(basis[i] * du) for i in range(ctrl.nbc)])

```

```

429     c = 0.5 * trapz_same_grid(du * du)
430
431     x_opt = np.linalg.solve(A, b)
432     J_star = evaluate_J_from_quad(x_opt, A, b, c)
433
434     aux = {
435         "x": x,
436         "u0": u0,
437         "basis": basis,
438         "udes": udes,
439         "c": c
440     }
441     return x_opt, A, b, J_star, aux
442
443
444     # -----
445     # Visualization helpers
446     # -----
447
448     def plot_J_surface_2d(A: np.ndarray, b: np.ndarray, c: float,
449                           fixed_x: np.ndarray,
450                           i: int = 0, j: int = 1,
451                           x1_range: Tuple[float, float] = (-1.0, 4.0),
452                           x2_range: Tuple[float, float] = (-1.0, 4.0),
453                           n1: int = 60, n2: int = 60,
454                           title: str = r"Surface $J(x_1,x_2)$ (les autres fixes)" ->
455                           None:
456         """Plot the surface J(x1,x2) by sampling two controls i and j while fixing the
457         others."""
458         x1s = np.linspace(*x1_range, n1)
459         x2s = np.linspace(*x2_range, n2)
460         X1, X2 = np.meshgrid(x1s, x2s, indexing='ij')
461
462         Z = np.zeros_like(X1)
463         for a in range(n1):
464             for bcol in range(n2):
465                 x = fixed_x.copy()
466                 x[i] = X1[a, bcol]
467                 x[j] = X2[a, bcol]
468                 Z[a, bcol] = evaluate_J_from_quad(x, A, b, c)
469
470         fig = plt.figure(figsize=(7, 5))
471         cs = plt.contourf(X1, X2, Z, 50)
472         plt.colorbar(cs, label="J(x)")
473         plt.xlabel(f"x_{i+1}")
474         plt.ylabel(f"x_{j+1}")
475         plt.title(title)
476         plt.tight_layout()
477         plt.savefig("Surface_J.png", dpi=160, bbox_inches="tight")
478         plt.show()
479
480     def plot_refinement_history(h_vals: List[float],
481                                J_vals: List[float],
482                                x_errs: Optional[List[float]] = None,
483                                label_xerr: str = r"$||X^{(h)}-X_{ref}||$" -> None:
484         fig, ax1 = plt.subplots(figsize=(7, 4.5))
485         ax1.plot(h_vals, np.log10(J_vals), marker='o')

```

```

485     ax1.set_xlabel("h  $\approx$  1/NX0 (coarse grid seed)")
486     ax1.set_ylabel("log10 J(X*)")
487     ax1.grid(True)
488     if x_errs is not None:
489         ax2 = ax1.twinx()
490         ax2.plot(h_vals, x_errs, marker='s', linestyle='--')
491         ax2.set_ylabel(label_xerr)
492     plt.title("Refinement study: J at optimum and param error vs h")
493     plt.tight_layout()
494     plt.savefig("raffinage.png", dpi=160, bbox_inches="tight")
495     plt.show()
496
497
498
499 def make_refinement_list(mode: str = "geometric",
500                         nx0_start: int = 21,
501                         count: int = 8,
502                         factor: float = 1.25,
503                         step: int = 10,
504                         nx0_max: int | None = None) -> list[int]:
505     """
506     Generate a list of NX0 values for the refinement study.
507     mode: "geometric" or "linear"
508         - geometric: NX0[k] = round(nx0_start * factor**k)
509         - linear:     NX0[k] = nx0_start + k*step
510     nx0_max: if given, cap any generated NX0 at this value (and stop if exceeded).
511     """
512     lst = []
513     if mode.lower() == "linear":
514         for k in range(count):
515             nx = int(nx0_start + k*step)
516             if nx0_max is not None and nx > nx0_max:
517                 break
518             lst.append(max(3, nx))
519     else:
520         val = float(nx0_start)
521         for k in range(count):
522             nx = int(round(val))
523             if nx0_max is not None and nx > nx0_max:
524                 break
525             lst.append(max(3, nx))
526             val *= float(factor)
527     lst = sorted(set(lst))
528     return lst
529
530 # -----
531 # MAIN (demo / experiments)
532 # -----
533
534 def main():
535     parser = argparse.ArgumentParser(description="ADRS inverse control (full)")
536     parser.add_argument("--refine", choices=["geometric", "linear"], default="geometric")
537     parser.add_argument("--nx0-start", type=int, default=21)
538     parser.add_argument("--ref-count", type=int, default=8)
539     parser.add_argument("--ref-factor", type=float, default=1.25)
540     parser.add_argument("--ref-step", type=int, default=10)
541     parser.add_argument("--nx0-max", type=int, default=120)

```

```

542 parser.add_argument("--no-ref-plot", action="store_true")
543 args = parser.parse_args()
544 phys = PhysParams(K=0.1, V=1.0, lam=1.0, L=1.0)
545 timep = TimeParams(NTmax=2000, eps_rel=1e-6)
546 adapt = AdaptParams(nb_adapt=4, theta=0.3, NX0=31, NXmax=601)
547 ctrl = ControlParams(nbc=6, gauss_beta=100.0)
548 quad = QuadParams(rel_tol=1e-8, abs_tol=1e-10, N0=1024, Nmax=1<<17)
549
550 cfg = PipelineConfig(phys=phys, timep=timep, adapt=adapt, ctrl=ctrl, quad=quad
551 )
552
553 # True control used to define u_des
554 Xopt_true = np.arange(1, ctrl.nbc + 1, dtype=float) # (1,2,3,4,5,6)
555 print("Xopt (true) =", Xopt_true)
556
557 # Adaptive optimum
558 Xopt_adapt, A_adapt, b_adapt, Jstar_adapt, aux_adapt = solve_optimal_control(
559     cfg, Xopt_true,
560     adapt_for_basis=True,
561     adapt_for_target=True)
562 print("[ADAPT] X*      =", Xopt_adapt)
563 print("[ADAPT] ||X*-Xopt|| =", np.linalg.norm(Xopt_adapt - Xopt_true))
564 print("[ADAPT] J(X*) =", Jstar_adapt)
565
566 # Reference on fixed fine mesh
567 Xopt_ref, A_ref, b_ref, Jstar_ref, aux_ref = solve_reference_fixed_mesh(cfg,
568     Xopt_true, NX_ref=501)
569 print("[REF]      X*      =", Xopt_ref)
570 print("[REF]      ||X*-Xopt|| =", np.linalg.norm(Xopt_ref - Xopt_true))
571 print("[REF]      J(X*) =", Jstar_ref)
572
573 print("[COMPARE] ||X*_adapt - X*_ref|| =", np.linalg.norm(Xopt_adapt -
574     Xopt_ref))
575
576 # J(x1,x2) surface
577 try:
578     fixed = Xopt_adapt.copy()
579     plot_J_surface_2d(A_adapt, b_adapt, aux_adapt["c"], fixed_x=fixed, i=0, j
580     =1,
581                     x1_range=(min(0.0, fixed[0]-2.0), fixed[0]+2.0),
582                     x2_range=(min(0.0, fixed[1]-2.0), fixed[1]+2.0),
583                     n1=40, n2=40)
584 except Exception as e:
585     print("Plot J surface failed:", e)
586
587 # Refinement study (dynamic)
588 NX0_list = make_refinement_list(mode=args.refine,
589     nx0_start=args.nx0_start,
590     count=args.ref_count,
591     factor=args.ref_factor,
592     step=args.ref_step,
593     nx0_max=args.nx0_max)
594
595 print("Refinement NX0 list:", NX0_list)
596
597 h_vals: list[float] = []

```



```

593 J_vals: list[float] = []
594 xerrs: list[float] = []
595 for NX0 in NX0_list:
596     adapt2 = AdaptParams(nb_adapt=2, theta=0.3, NX0=NX0, NXmax=1001)
597     cfg2 = PipelineConfig(phys=phys, timep=timep, adapt=adapt2, ctrl=ctrl,
quad=quad)
598     Xopt_h, A_h, b_h, Jstar_h, aux_h = solve_optimal_control(cfg2, Xopt_true,
599                                                                adapt_for_basis=
True,
600                                                                adapt_for_target
=True)
601     h_vals.append(1.0 / NX0)
602     J_vals.append(Jstar_h)
603     xerrs.append(np.linalg.norm(Xopt_h - Xopt_true))
604     print(f"NX0={NX0}: J*={Jstar_h:.3e}, ||X*-Xopt||={xerrs[-1]:.3e}")
605
606 if not args.no_ref_plot:
607     try:
608         plot_refinement_history(h_vals, J_vals, x_errs=xerrs)
609     except Exception as e:
610         print("Plot refinement failed:", e)
611
612 # u_des = 1 scenario
613 NX_udes = 1201
614 x_udes = uniform_grid(NX_udes, phys.L)
615 u_des_const = np.ones_like(x_udes)
616
617 basis = aux_adapt["basis"]
618 u0 = aux_adapt["u0"]
619 u_des = BasisSolution(x=x_udes, u=u_des_const)
620
621 A_c, b_c, c_c = assemble_linear_system(basis, u0, u_des, phys, quad)
622 Xopt_const = np.linalg.solve(A_c, b_c)
623 Jstar_const = evaluate_J_from_quad(Xopt_const, A_c, b_c, c_c)
624 print("[udes=1] X* =", Xopt_const)
625 print("[udes=1] J(X*) =", Jstar_const)
626
627 # Plot u(X*) vs u_des for adaptive case
628 try:
629     x_view = uniform_grid(801, phys.L)
630     u0_v = interp_on_grid(aux_adapt["u0"].x, aux_adapt["u0"].u, x_view)
631     udes_v = interp_on_grid(aux_adapt["u_des"].x, aux_adapt["u_des"].u, x_view
)
632     u_rec = u0_v.copy()
633     for i in range(ctrl.nbc):
634         ui_v = interp_on_grid(basis[i].x, basis[i].u, x_view)
635         u_rec += Xopt_adapt[i] * ui_v
636
637     plt.figure(figsize=(7,4))
638     plt.plot(x_view, udes_v, label="u_des", linewidth=2)
639     plt.plot(x_view, u_rec, label="u(X*) (recon)", linestyle="--")
640     plt.xlabel("x"); plt.ylabel("u"); plt.legend(); plt.tight_layout()
641     plt.savefig("ux.png", dpi=160, bbox_inches="tight")
642     plt.show()
643 except Exception as e:
644     print("Plot state vs target failed:", e)
645
646

```

```
647 if __name__ == "__main__":  
648     main()
```